

住友金属工業 正員 ○後藤芳顯
 新日本技研 正員 倉方廣夫
 東京大学 正員 西野文雄

1. まえがき 薄肉直線材の耐荷力解析については数多くの研究が有り、幾何学、および材料非線形を含むために問題を非常に困難にしており、いずれも満足なものではない。従ってこの両者を、いかに能率良く処理するかが問題である。ここで材料非線形に対する(従来通りの)i) 鋼材は完全弾塑性体とし、歪の硬化や反転などは考慮しない。ii) 降伏に及ぼす剪断歪の影響は無視する。等の仮定を導入することとし、幾何学的非線形性について従来より厳密にならうとする解析法について述べる。材料非線形を扱うには、長さ方向に降伏域が変化するため、Tにとて等断面部材であるとし、長さ方向に細分割し、その区間では降伏領域一定として、剪断面弹性部材のように考えることが必要になる。この部材を長さ方向に細分割するとといふことを、幾何学的非線形性の処理にも利用し、有限要素の基本式を導導する。その際繁雑な幾何学的考察を避け、仮想仕事の式を用い算術演算で求める。このようにすれば基本式が自動的に求められることができ一方、近似上統一のとれたものを導くことも容易である。本報告では、簡単のために薄肉降伏理論の、特別な場合である一軸降伏理論を例にとて述べるが、その一般解への拡張も同じキ法によれば良い。

2. 基礎概念 三次元連続体の変形前の点を示す位置ベクトルを \mathbf{r} 、変形後のそれを \mathbf{r}' 、また変位ベクトルを \mathbf{u} と表わすと次式が成立する。

$$d\hat{\mathbf{r}} = d\mathbf{r}' + d\mathbf{u} \quad (1)$$

一方 $|d\mathbf{r}'|$ と同じ長さの任意ベクトル $d\mathbf{r}'^*$ を考えるとFig. 1のようになれば

$$d\hat{\mathbf{r}} = d\mathbf{r}'^* + d\mathbf{u}^* \quad (2)$$

なら関係式が成立する。

右手系正直角直交線座標 \mathbf{e}_i を考え、それで変形前の物体内の点を記述し、変形後もその座標値 x_i と呼ぶことにする。 x_i の座標軸正方向を向く単位ベクトルを $\hat{\mathbf{e}}_i$ とする。これを用いて $d\mathbf{r}'$ 、 $d\mathbf{u}$ を表わせば、

$$d\mathbf{r}' = dx_i \hat{\mathbf{e}}_i \quad (3) \quad d\mathbf{u} = u_i \hat{\mathbf{e}}_i \quad (4)$$

これから $d\hat{\mathbf{r}}$ は次のようになる。

$$d\hat{\mathbf{r}} = (\hat{\mathbf{e}}_i + u_j \hat{\mathbf{e}}_j) dx_i \quad (5)$$

$d\mathbf{r}'^*$ 、 $d\mathbf{u}^*$ についても、(3)(4)と全く同じ状態が再現されるよう

$$d\mathbf{r}'^* = dx_i \hat{\mathbf{e}}_i^* \quad (6)$$

を満足する互いに直交する単位ベクトル $\hat{\mathbf{e}}_i^*$ と選ぶことができる。これは $|d\mathbf{r}'^*| = |d\mathbf{r}'|$ としたことによる。 $\hat{\mathbf{e}}_i^*$ を $\hat{\mathbf{e}}_i$ と展開し、式(5)とともに(2)に代入すれば

$$d\hat{\mathbf{r}} = (\hat{\mathbf{e}}_i^* + u_j \hat{\mathbf{e}}_j) dx_i \quad (7)$$

となり、式(5)と(7)との記述は一致する。つまり $\hat{\mathbf{e}}_i^*$ についての扱いは $\hat{\mathbf{e}}_i$ と同じである。この事実に注目する一方、幾何学的非線形性は u_j に起因するから、 u_j と $d\mathbf{r}'^*$ のとり方により無視できる量にする考えることを考える。

3. 一軸降伏理論における解析

a) 变位成分 u_i^* u_i^* の選び方は通常の一軸降伏理論⁽¹⁾に準らうものとし、一軸降伏理論で認められている仮定⁽²⁾の他に、微小量の仮定 $e_{ij} \ll 1$ を導入する。これらの条件下での变位場、歪テンソル、变位関係は、上で述べたように u_i^* (= 0) とし u_i と同じように求めらるべき⁽³⁾。次のようにする。

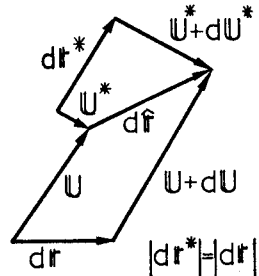


Fig. 1

$$U_2^* = U_{02}^* - X_2(1 - \cos \alpha^*) \quad U_3^* = U_{03}^* - X_2 \sin \alpha^* \quad (8)$$

$$e_{22} = 0, e_{33} = 0, e_{23} = U_{03}^{**} + \frac{1}{2}(U_{03}^{**12} + U_{02}^{**12}) - X_2 \alpha^{**} \quad (9)$$

$$\sin \alpha^* = U_{02}^{**}, \cos \alpha^* = 1 + U_{03}^{**}, \alpha^{**} = (1 + U_{03}^{**})U_{02}^{**} - U_{02}^{**} \quad (10)$$

$$U_{0i}' = dU_{0i}/dx_3, U_{0i}(X_2=0) \text{ の点の変位}$$

部材中の点 (X_2^r) における dU_{0i}^r 及び dU_{0j}^r と同じ向きに重ねて置ぶと既に一軸轉理論の平面保持の仮定より、次のように置べばよい。

$$U_{0i}^r = (\delta_{ij} + U_{0j,i})/|\hat{U}_{0i}^r| \quad (11) \quad |\hat{U}_{0i}^r| = (\delta_{ij} + U_{0j,i})\hat{U}_{0j}^r \quad (12)$$

この幾何学的意味は Fig. 2 に示す。このとき式(11)を(7)に代入し式(6)を用いれば

$$(\delta_{ij} + U_{0j,i})(\delta_{ik} + U_{0k,i})/|\hat{U}_{0i}^r| = (\delta_{ij} + U_{0j,i}) \quad (13)$$

この点で \hat{U}_{0i}^r について考え方をいざ式(13)より

$$\delta_{ij} - (\delta_{ij} + U_{0j,i})/|\hat{U}_{0i}^r| = 0 \quad (14)$$

となり。

$$i \neq j, i = 0 \quad i=j, i=0 \text{ の場合の仮定より } 1 + U_{0j,i} = |\hat{U}_{0i}^r| \approx 1 \quad (15)$$

が成立する。r 点、 $(X_2 = 0)$ の近傍 Z^r は式(15)より U_{0i}' を X_3 で展開すれば次のようになる。

$$U_{02}' = 0(X_3 - X_3^r), \quad 1 + U_{03}' = 1 + 0(X_3 - X_3^r) \quad (16)$$

式(16)より、 $|X_2 - X_2^r|$ を他の項に比べ十分無視できる程度に細分割すれば式(9)より変位関係は

$$e_{23} \approx U_{03}' - X_2 U_{02}^{**} \quad (17)$$

となり、いかにも従来の微小変位理論におけるものと一致する。以下 $|X_2 - X_2^r|$ の分割は上記の程度に十分小さいものとする。ところが式(8)を(13)に代入し、 U_{0i}' と U_{0i} との関係式を求めるところとなる。

$$\begin{Bmatrix} U_{02}' \\ 1 + U_{03}' \end{Bmatrix} = [R^r] \begin{Bmatrix} U_{02} \\ 1 + U_{03} \end{Bmatrix} \quad [R^r] = \begin{bmatrix} \cos \alpha^r & -\sin \alpha^r \\ \sin \alpha^r & \cos \alpha^r \end{bmatrix} \quad (18)$$

$$\sin \alpha = U_{02} \quad \cos \alpha = 1 + U_{03}$$

b) 基本式 仮想仕事の式は部材を長さ方向に細分割するから、和の形で表わされる。

$$\delta \Pi = \delta V - \delta W_d - \delta W_p - \delta W_b = \sum_{r=1}^n (\delta V^r - \delta W_d^r) - \delta W_p - \delta W_b \quad (19)$$

$$\text{内部応力: } \delta V^r = \int_{x_r}^{x_{r+1}} A_{33} \delta e_{33} dA dx_3, \quad \text{分布外力: } \delta W_d^r = \int_{x_r}^{x_{r+1}} (P_{3d} \delta U_2 + P_{3d} \delta U_3) dA dx_3$$

$$\text{節点集中外力: } \delta W_p = \bar{F}_2 \delta U_2 + \bar{F}_3 \delta U_3 + \bar{M} \delta \alpha, \quad \text{部材両端表面力: } \delta W_b = \left[M \int_A (P_{33} \delta U_2 + P_{33} \delta U_3) dA \right]_{r=1}^{n+1}, \quad M = \begin{cases} 1 & r=1 \\ n+1 & r=n+1 \end{cases}$$

細分割の条件より式(18)より近似化を行なうと各変分量は。

$$\delta e_{33} = \delta U_{02}' - X_2 \delta \alpha^*, \quad \delta U_2 = \delta U_{02}, \quad \delta U_3 = \delta U_{03}' - X_2 \delta U_{02}' \quad (20)$$

となる。釣合式は \bar{F}_2^r, \bar{F}_3^r 方向、境界条件式、連続条件式は \bar{F}_2, \bar{F}_3 方向で考えることとする。式(18)より δU_{0i} と $\delta U_{0i}'$ との関係式は次のようになる。

$$\begin{Bmatrix} \delta U_{02}' \\ \delta U_{03}' \end{Bmatrix} = [R^r] \begin{Bmatrix} \delta U_{02} \\ \delta U_{03} \end{Bmatrix} \quad (21)$$

式(19)を計算するとときに、式(21)を適用すれば、釣合式節点 Z^r の連続条件式、境界条件式が得られる。

$$\begin{aligned} \text{○釣合式: } & (M' + m_{22} \sin \alpha^r + m_{23} \cos \alpha^r)' + P_{3d} \cos \alpha^r - P_{3d} \sin \alpha^r = 0 \\ & N' + P_{3d} \sin \alpha^r + P_{3d} \cos \alpha^r = 0 \end{aligned} \quad (22)$$

○両端 Z^r の境界条件

$$\text{力学的条件: } n_x \begin{Bmatrix} \bar{F}_2 \\ \bar{F}_3 \\ M_{22} \sin \alpha^r + M_{23} \cos \alpha^r \end{Bmatrix} = \begin{Bmatrix} [R^r] \text{①} \\ \text{①} \cdot 1 \end{Bmatrix} \begin{Bmatrix} M' + m_{22} \sin \alpha^r + m_{23} \cos \alpha^r \\ N \\ M \end{Bmatrix} \quad (23)$$

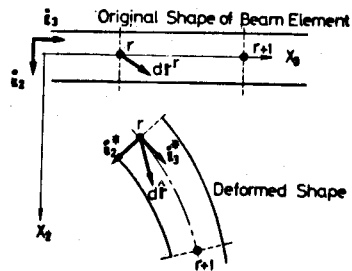


Fig. 2

$$\text{幾何学的条件: } U_{02} = C, \quad U_{03} = C, \quad \alpha = C \quad (24)$$

○ 中間節点 z^r の連続条件

$$\text{力学的条件: } \begin{Bmatrix} \bar{F}_2 \\ \bar{F}_3 \\ \bar{M} \end{Bmatrix} = \begin{Bmatrix} [R^k] & ① \\ ① & 1 \end{Bmatrix} \begin{Bmatrix} M + m_{22} \sin \alpha^k + m_{23} \cos \alpha^k \\ N \\ M \end{Bmatrix} \quad \begin{array}{l} -x_3^r \cdot r = r-1 \\ +x_3^r \cdot r = 1 \end{array} \quad (26)$$

$$\text{幾何学的条件: } |U_{02}|_{+x_3^r}^{-x_3^r} = 0, \quad |U_{03}|_{+x_3^r}^{-x_3^r} = 0, \quad |\alpha|_{+x_3^r}^{-x_3^r} = 0 \quad (27)$$

$$N = \int_A O_{33} dA, \quad M = \int_A O_{33} x_2 dA, \quad \bar{F}_2 = \int_A P_{23} dA, \quad \bar{F}_3 = \int_A P_{33} dA,$$

$$\bar{M}_{22} = \int_A P_{23} x_2 dA, \quad \bar{M}_{23} = \int_A P_{33} x_2 dA, \quad m_{22} = \int_A P_{23} dA, \quad m_{23} = \int_A P_{33} dA$$

釣合式は線形式となつてよい。弹性部分 z^r はフックの法則 $O_{33} = E \epsilon_{33}$, 式(17)より線形微分方程式となり解くことができる。

(c) 耐荷力解析 基本式とフックの法則より格間伝達式と格点伝達式を求める。遷元法的手法による。解析法は、ある点 z^r 既知以外の力学および幾何学諸量をすべて仮定し、格点 z^r および格間伝達式を用いて境界条件の与えられた所まで伝達していく。その点 z^r の境界値と一致するまで仮定量を修正し繰り返す。これは境界値問題を初期値問題として解くことに相当する。耐荷力計算のとき相間曲線とハサ形で求められるならば繰り返し計算は必要ないが、それはない。Fig. 3 にその方法を示す。有限変位の数値上の精度チェックを Fig. 4 に示す。

4. あとがき 一軸棒理論では、その有限変位基本式は微小差の条件下で $|x_3 - x_3^r| \rightarrow 0$ とすれば、いわゆる微小変位の式となる。実際は $|x_3 - x_3^r|$ をある程度小さくすれば、Fig. 4 により微小変位の式を用いても工学上十分な解を与える。また後座屈まで考慮にしておるものにならうことわかる。一般的な薄肉棒理論では微小差の条件下で本手法を用いて $|x_3 - x_3^r| \rightarrow 0$ としても基本式は全くの線形とはならず一部非線型項の残った式となる。これによりより効果があり、従来变形後釣合を考慮剛体変位を除けば何でも微小変位の式で扱えるという考え方がある。しかし近似の統一上正しくないことを示すものである。

参考文献 (1) 西野、倉方、後藤; 一軸曲げと軸力を受ける軸の有限変位理論, 土木学会論文報告集, NO. 237, pp 11-26, 1975-5

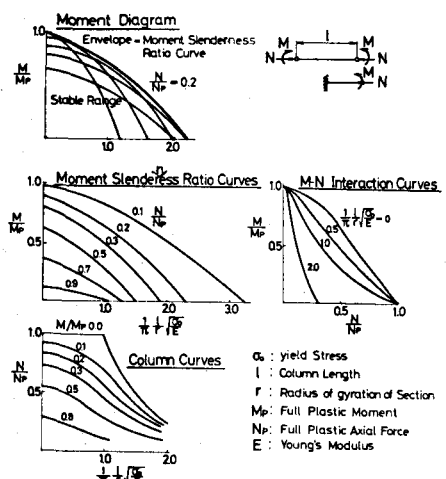


Fig. 3

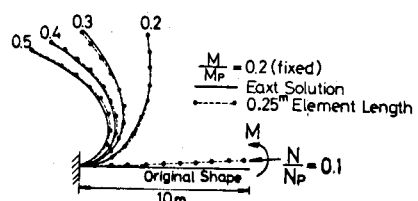


Fig. 4